

FIG. 1

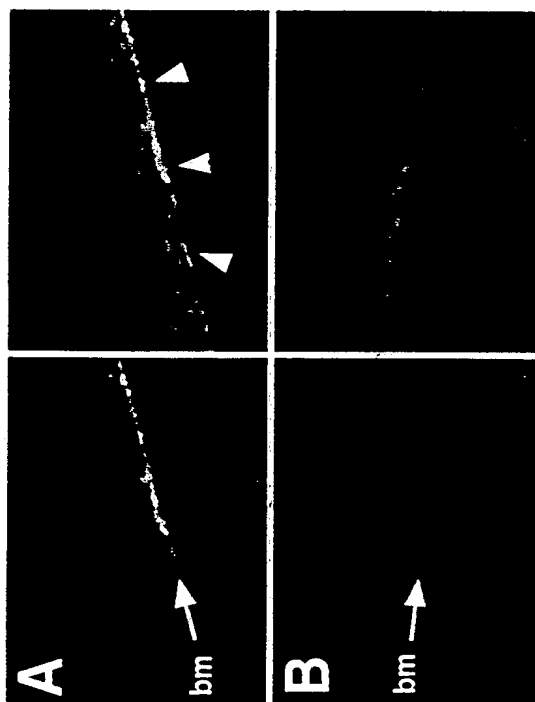


FIG. 2

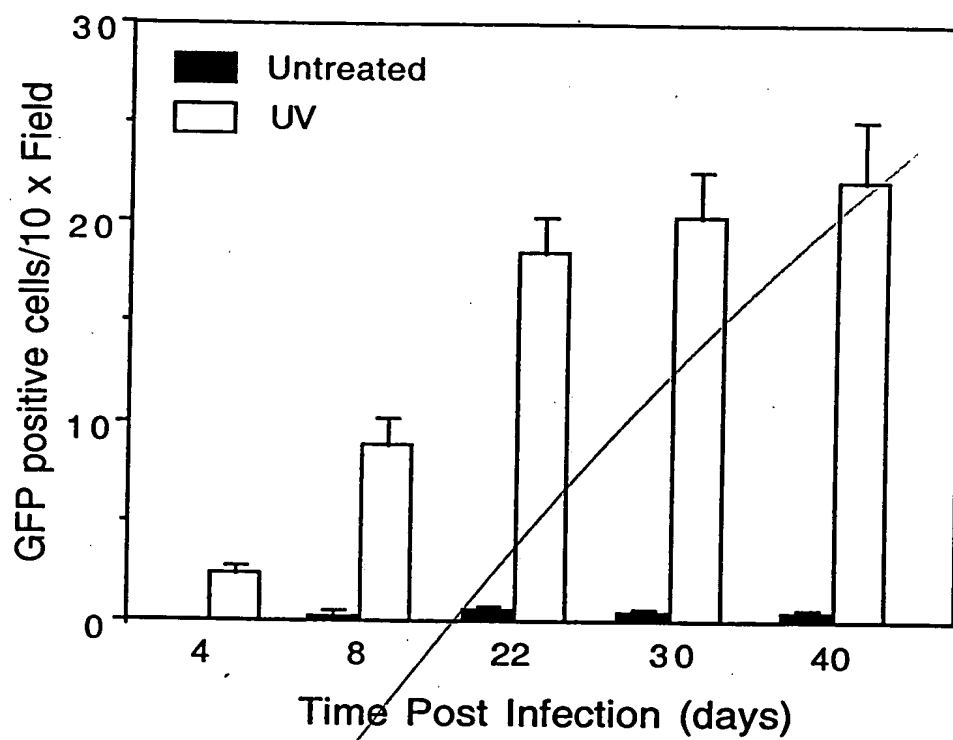


FIG. 3A

4/28

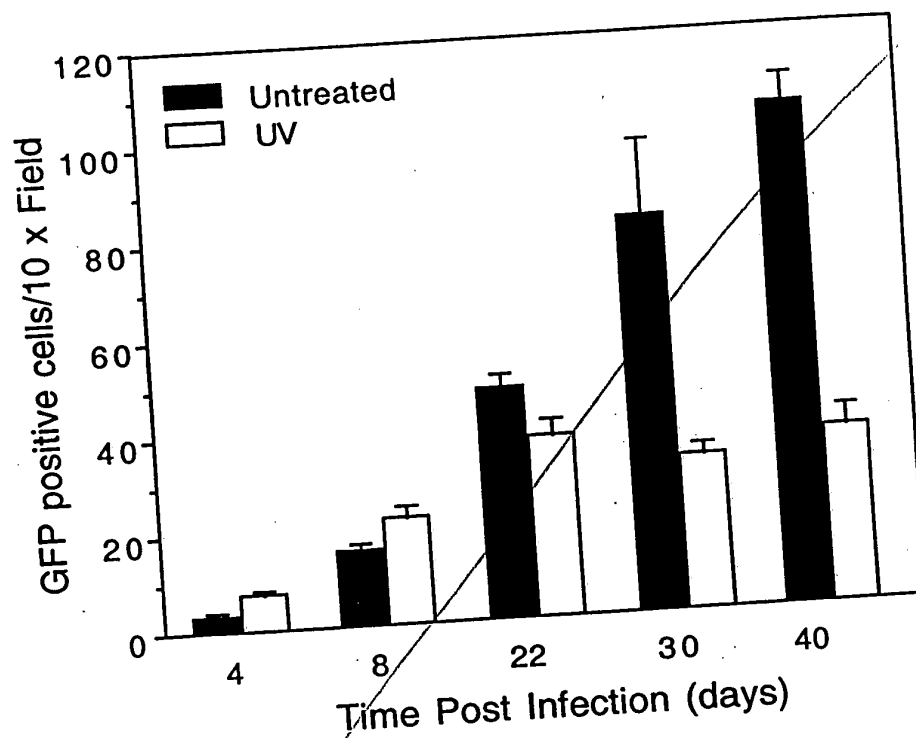


FIG. 3B

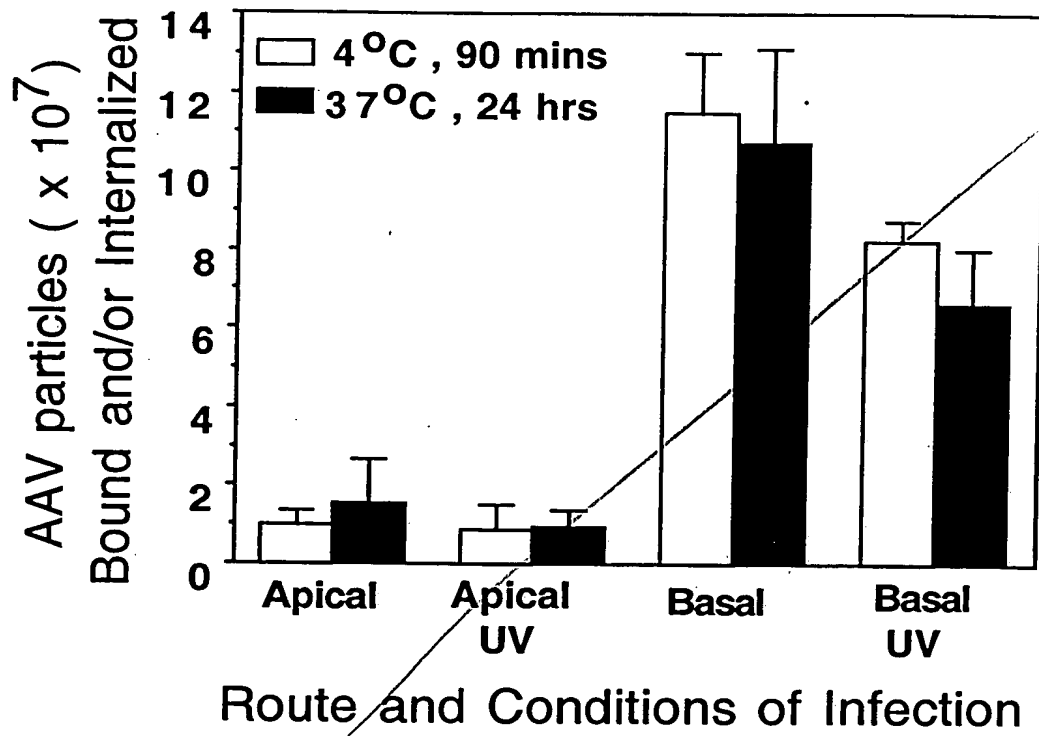


FIG. 4

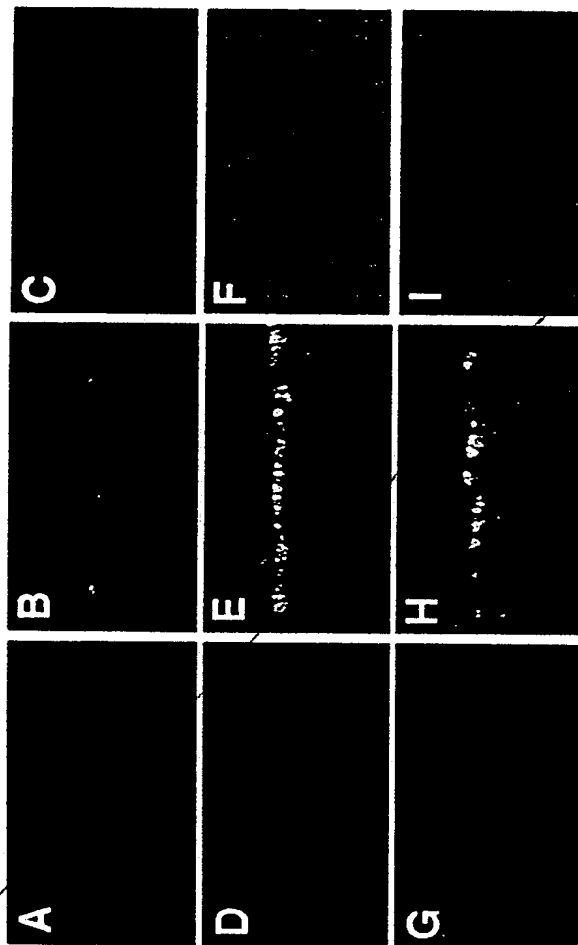


FIG. 5

7/28

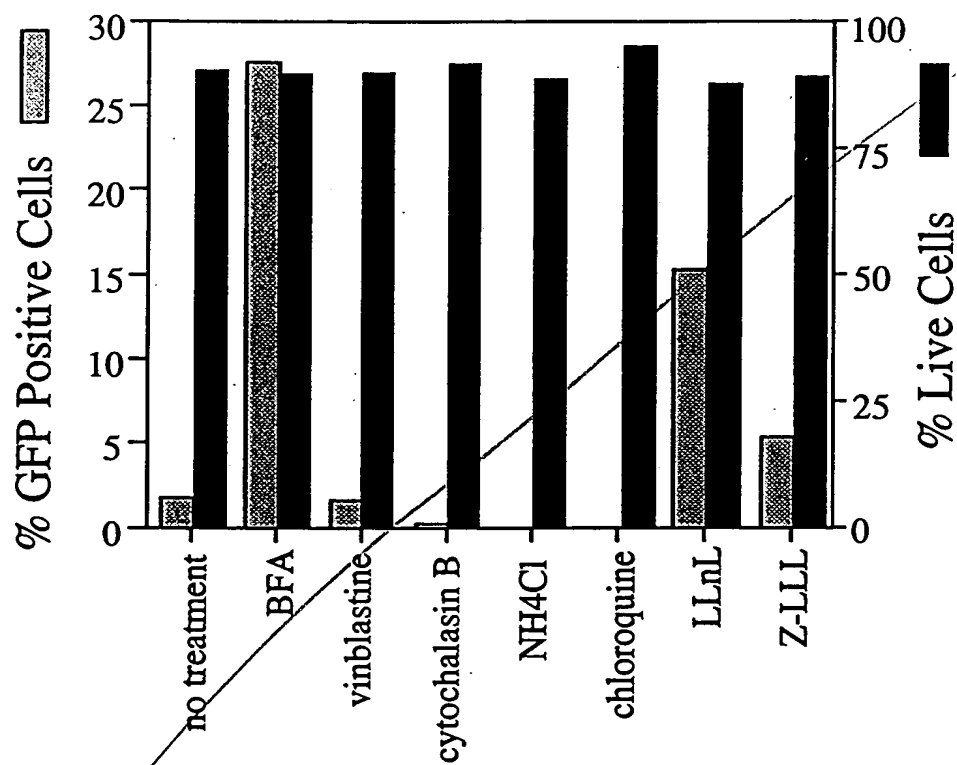
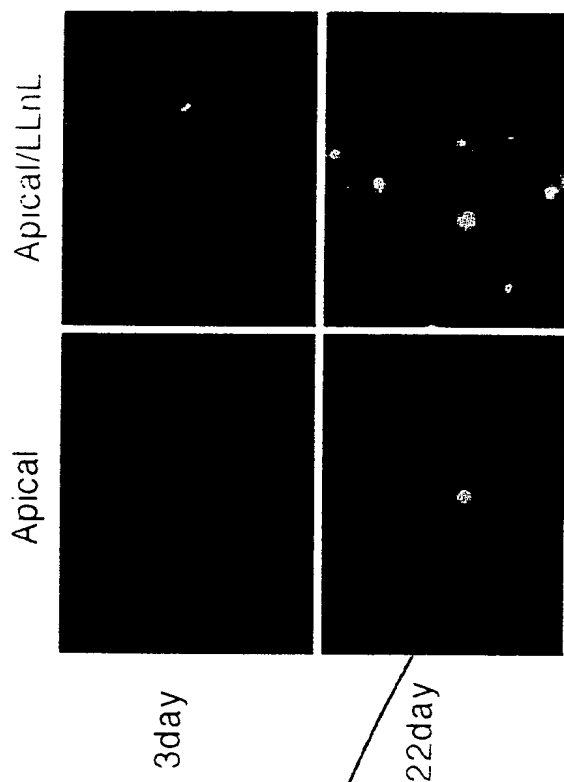
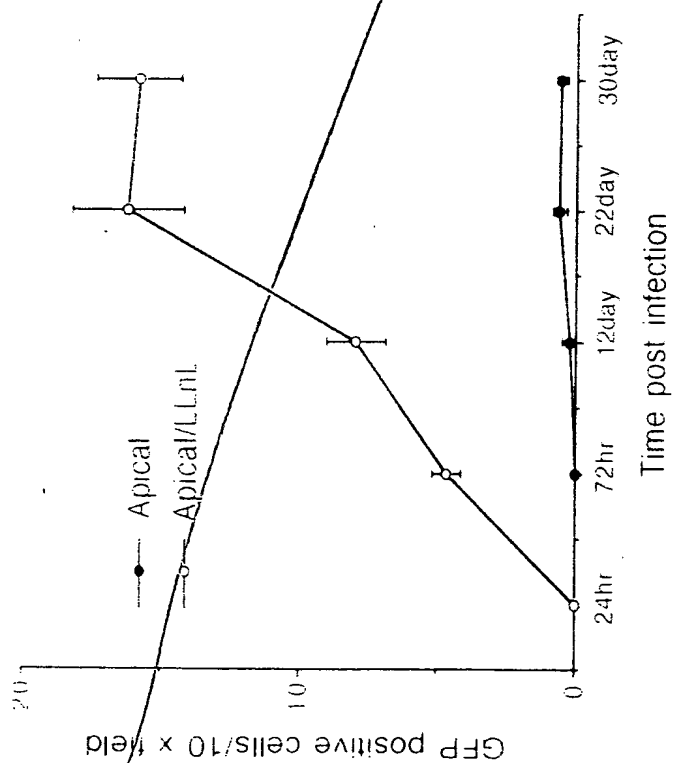


FIG. 6



8/28

FIG. 7A



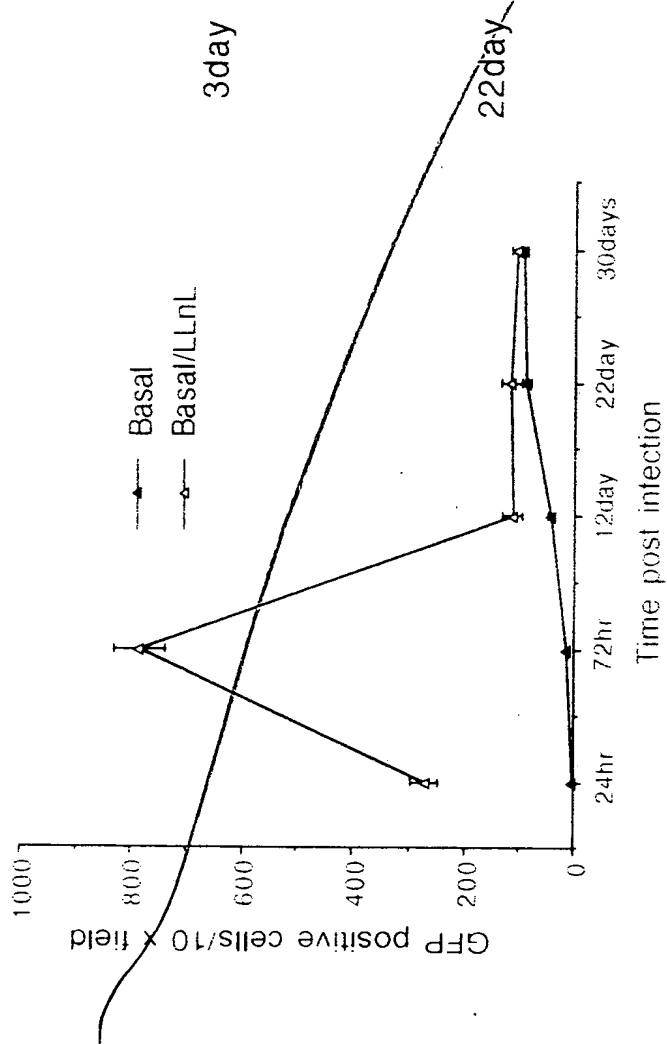
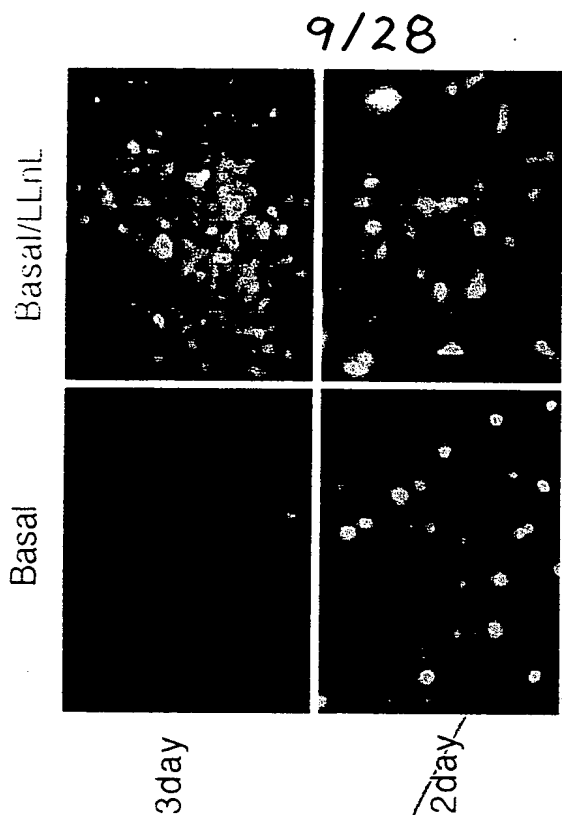


FIG. 7B



10/28

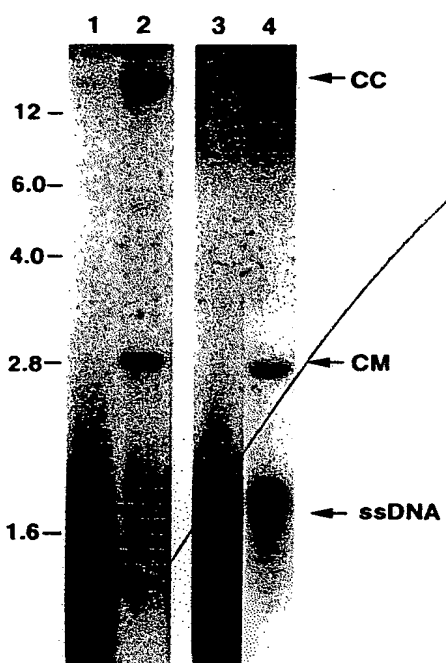


FIG. 8

002101-9268960

11/28

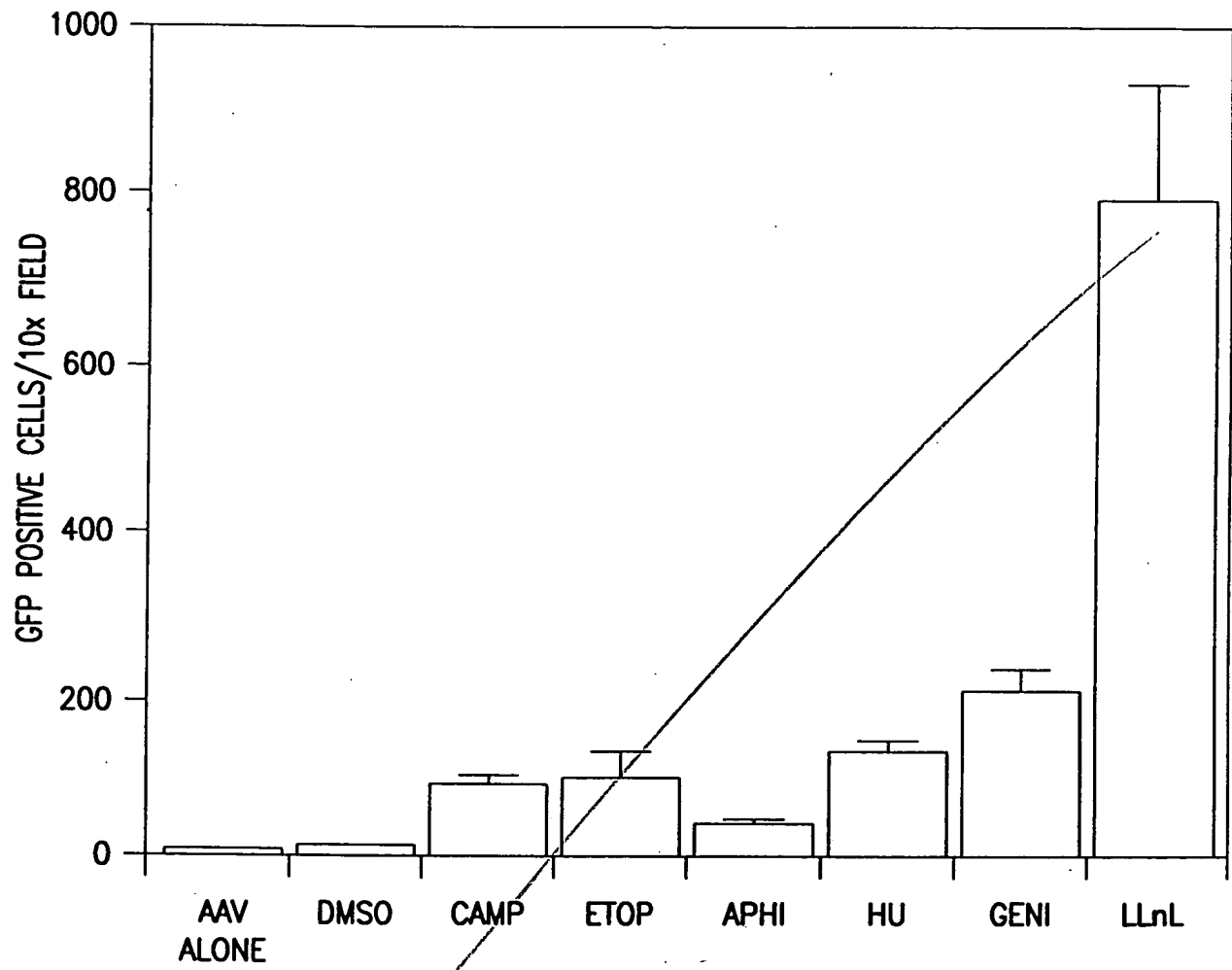


FIG. 9

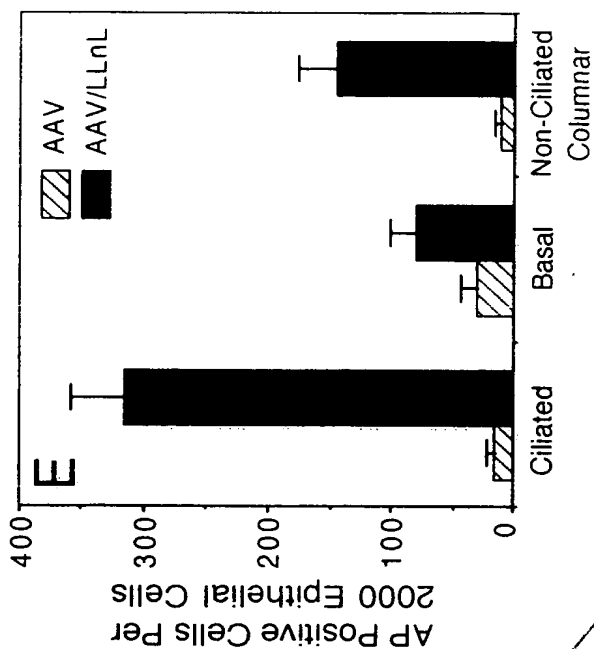
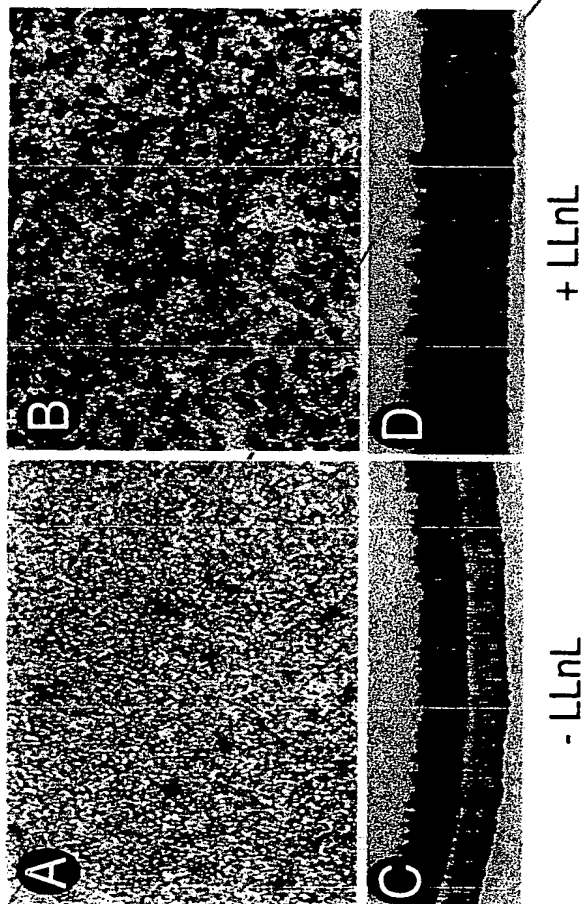


FIG. 10

13/28

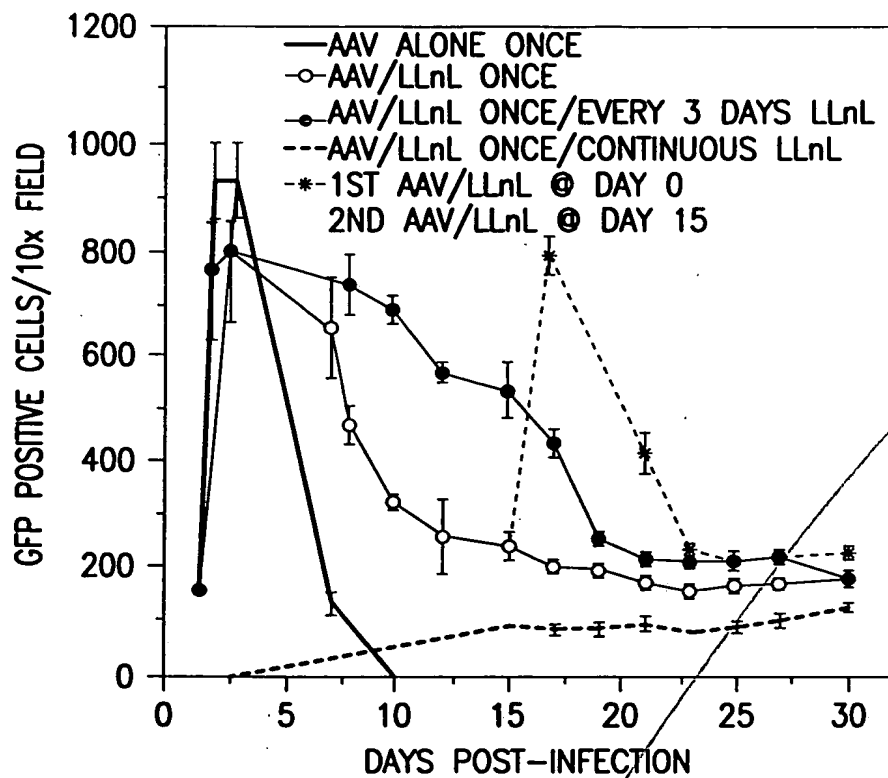


FIG. 11A

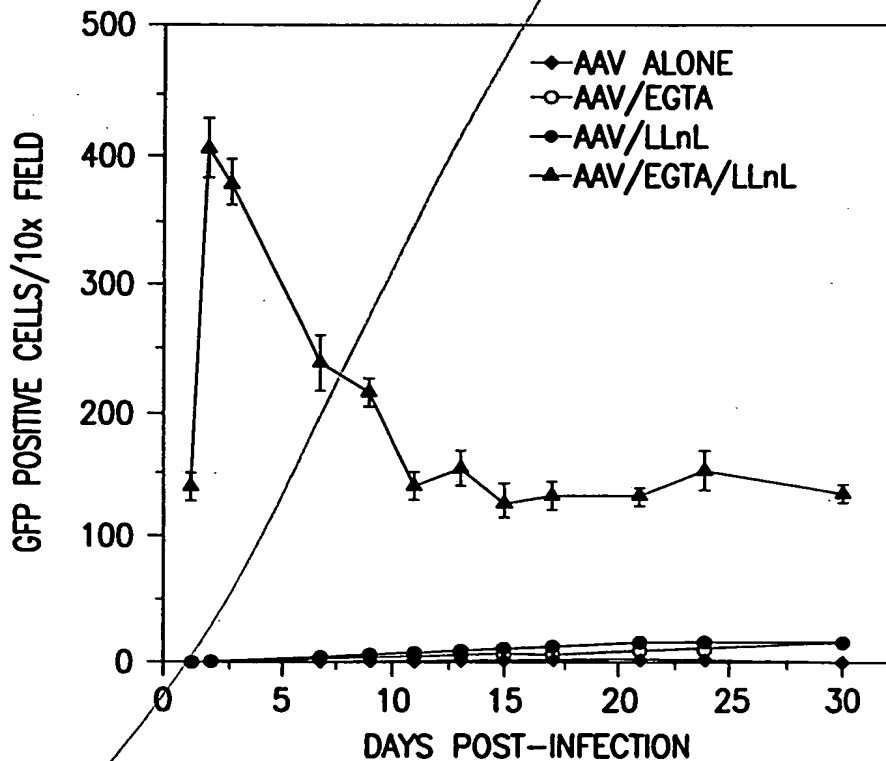


FIG. 11B

14/28

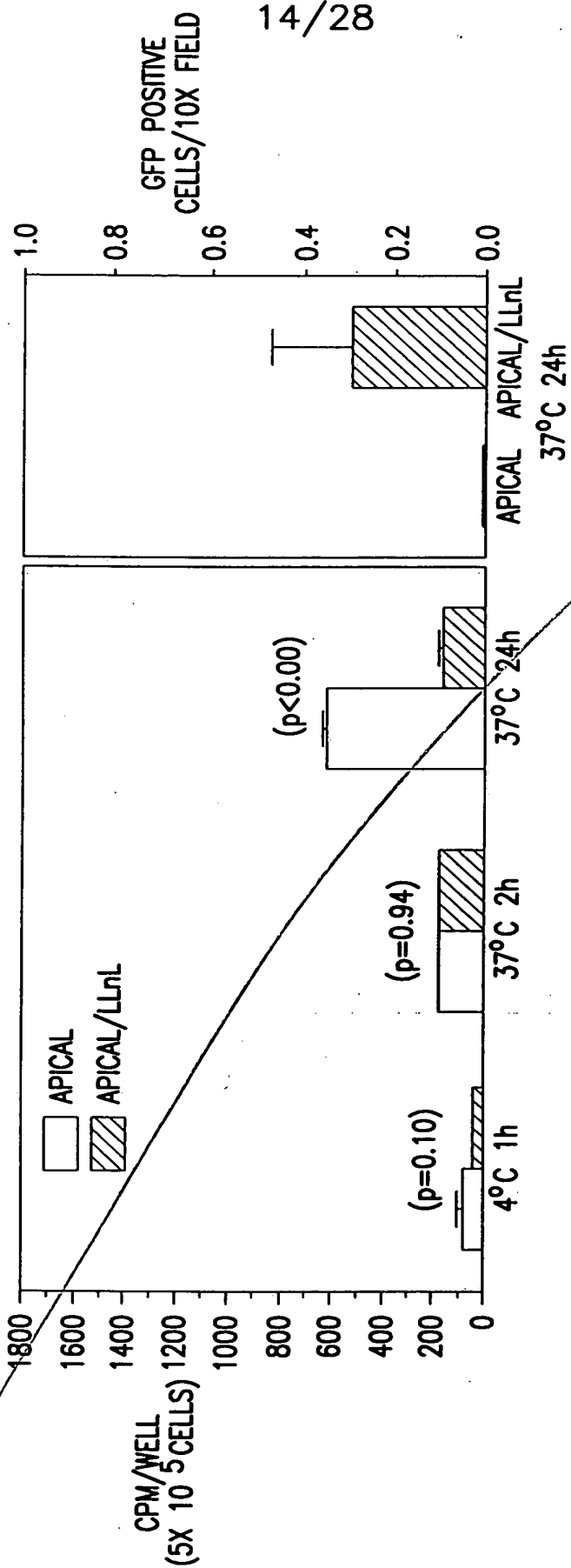


FIG. 12A

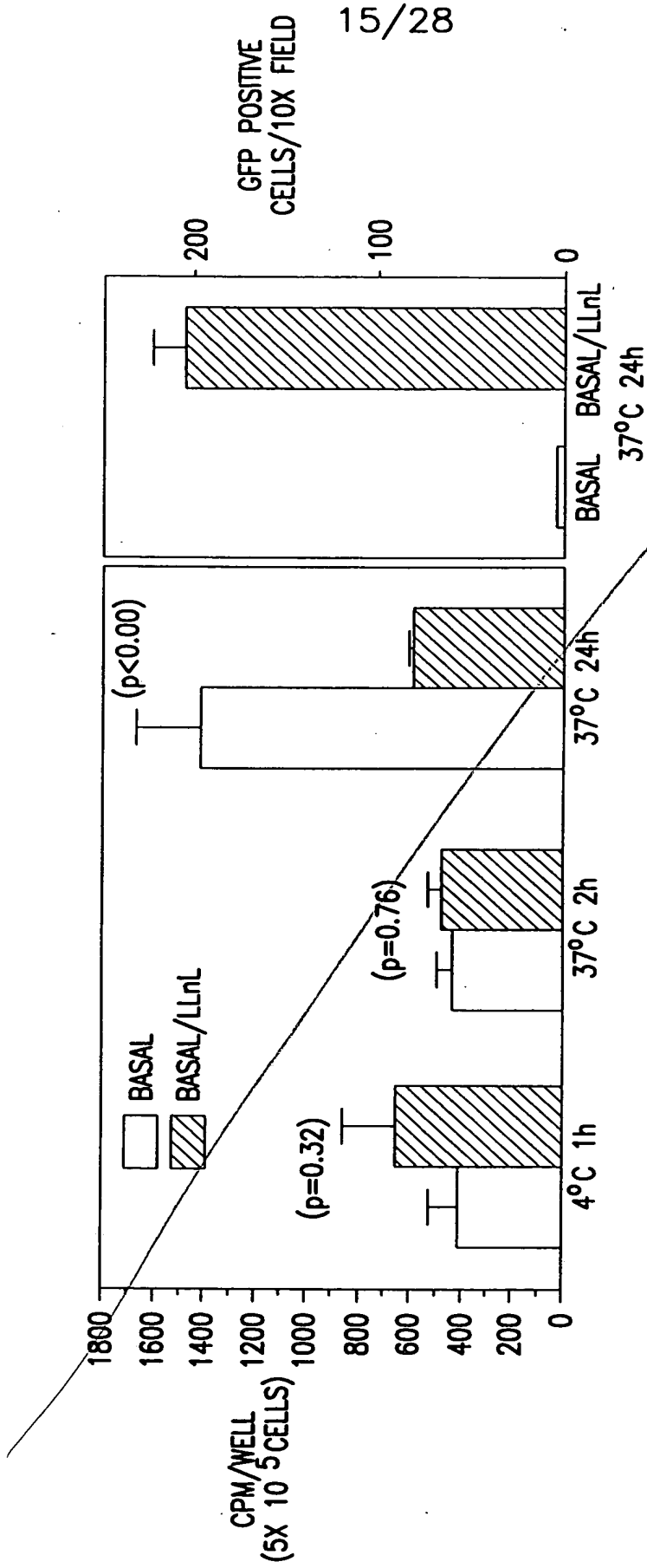


FIG. 12B

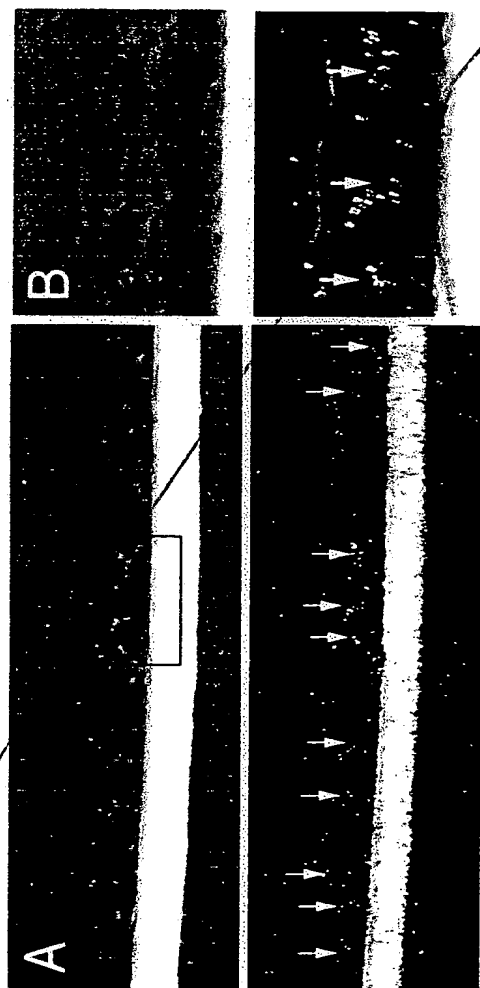
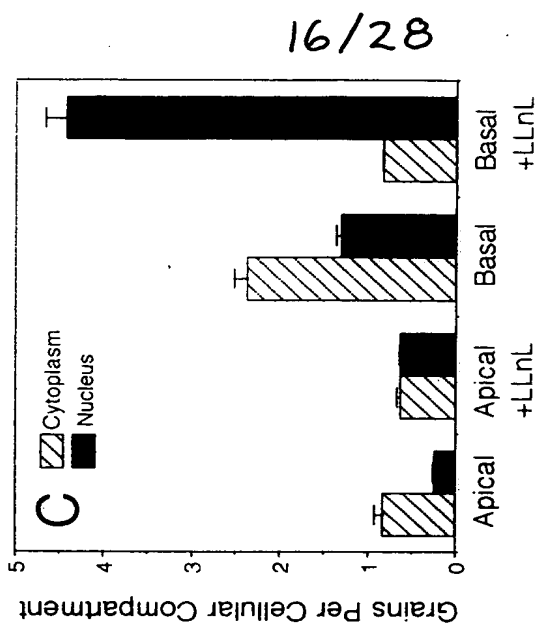


FIG. 13





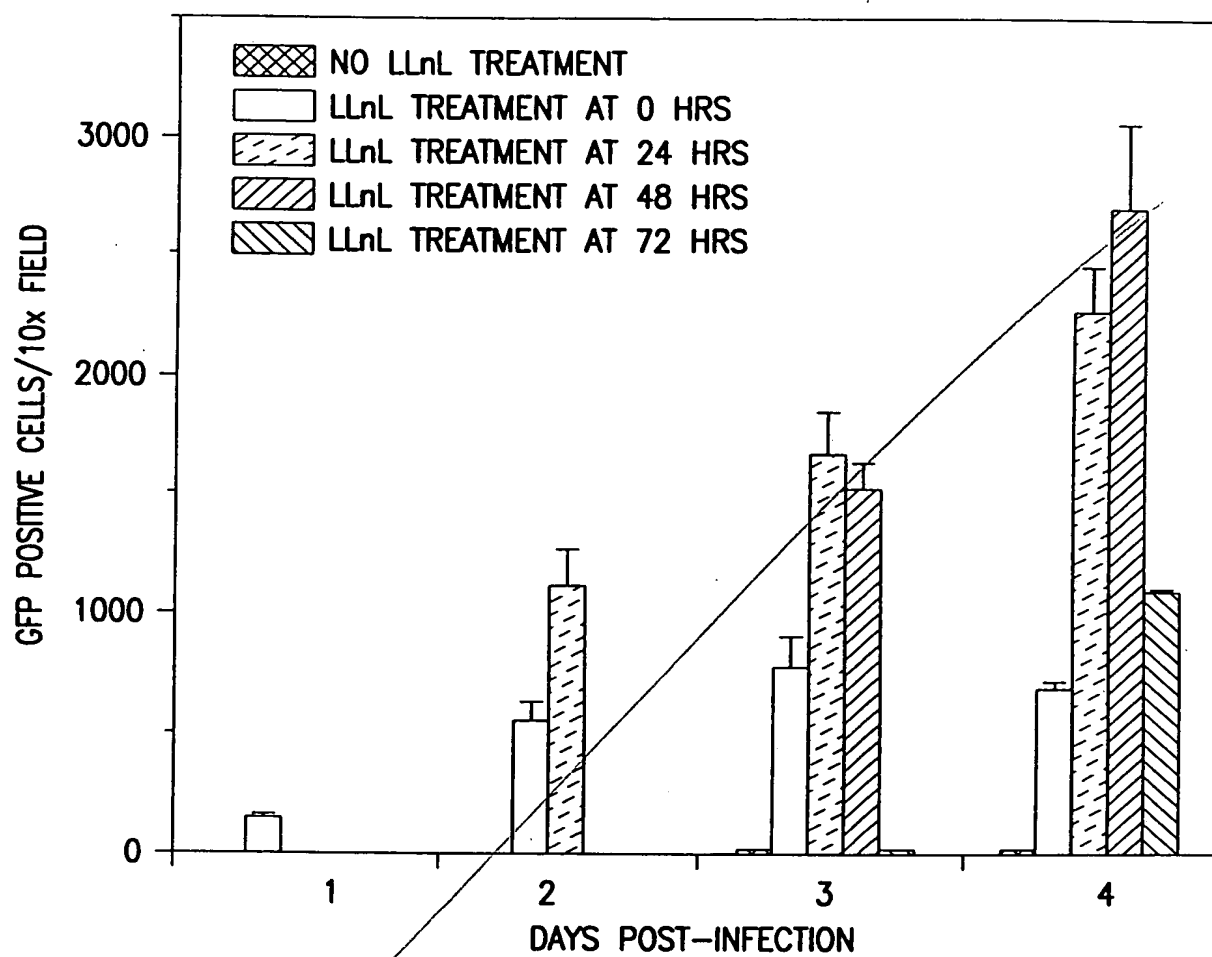


FIG. 14

18/28

002101" 9ET68960

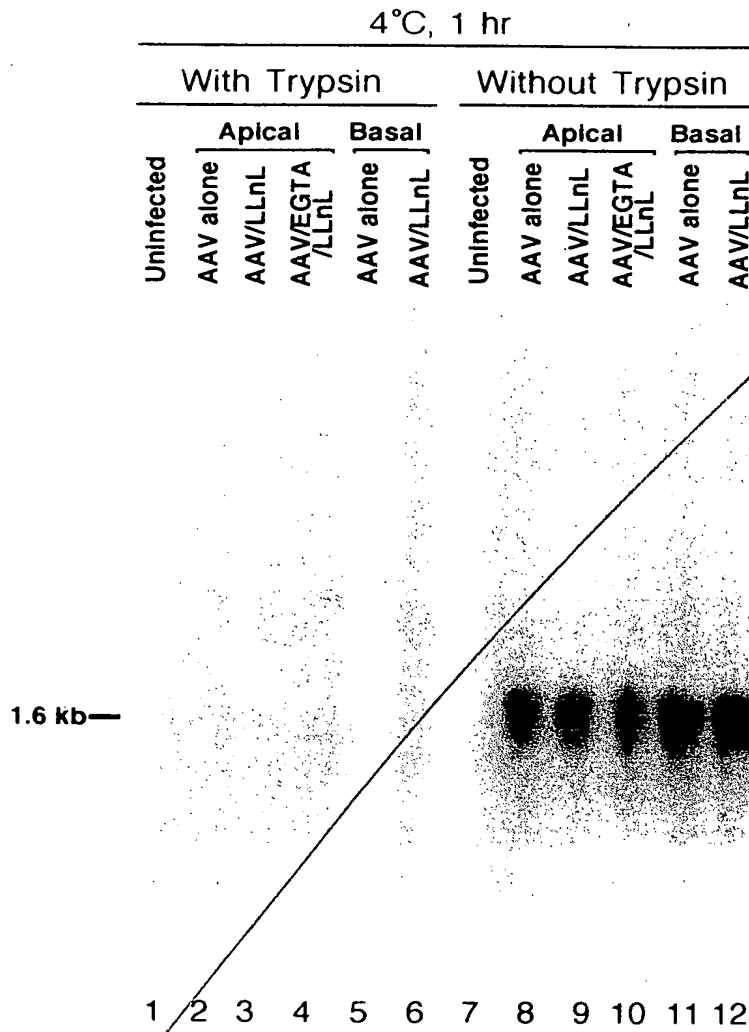


FIG. 15A

19/28

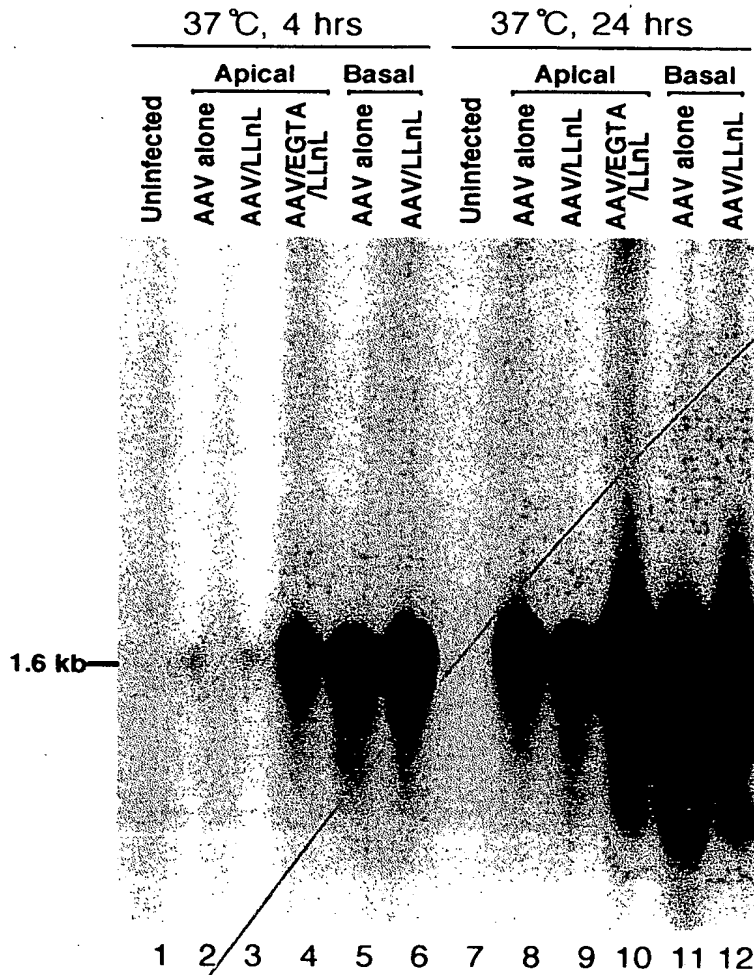


FIG. 15B

20/28

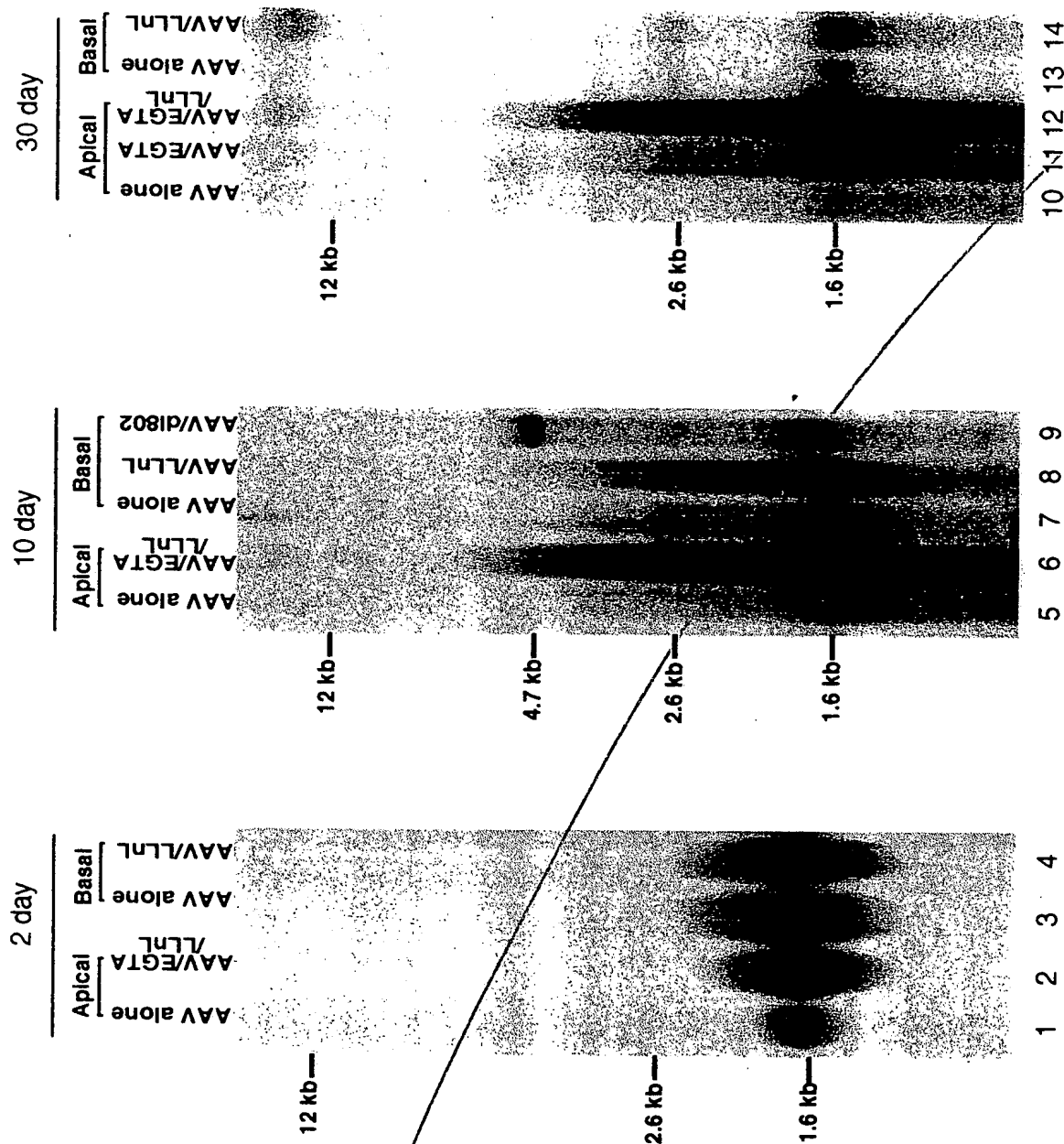
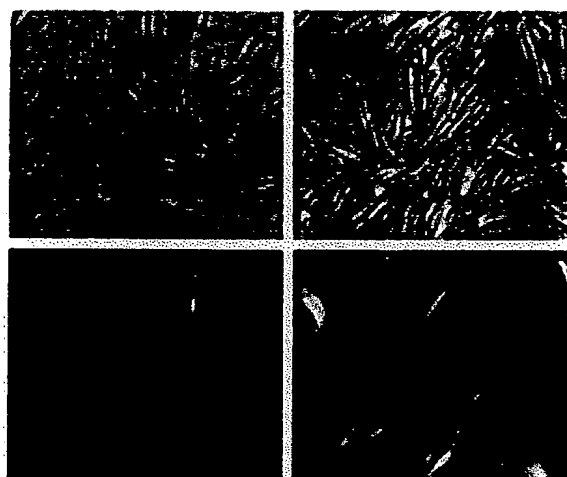


FIG. 15C

002F0T" 9ET68960



rAAV

rAAV + LLnL

FIG. 16A

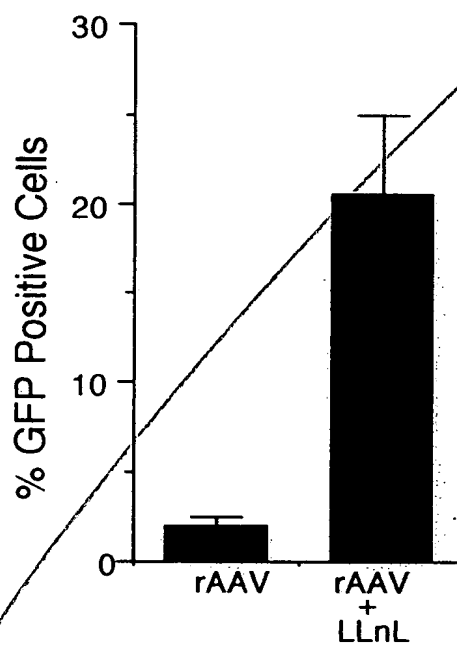


FIG. 16B

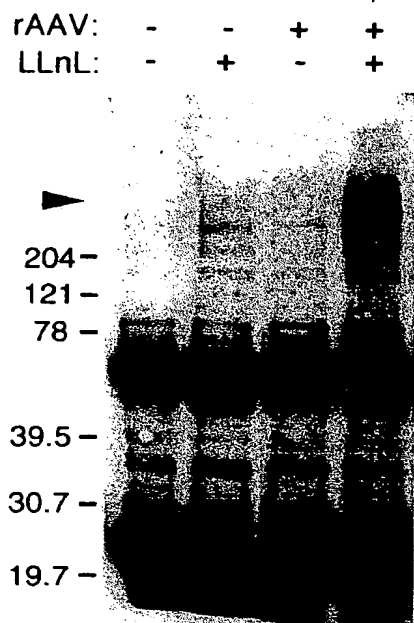


FIG. 16C

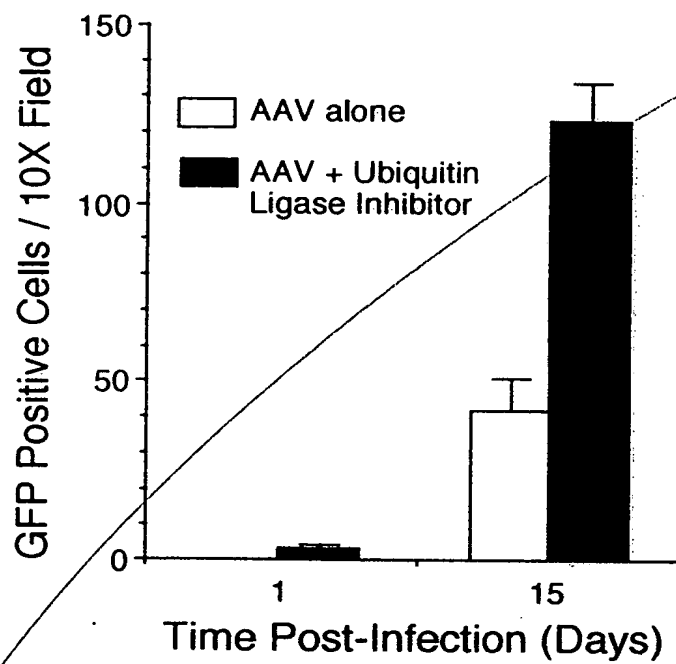


FIG. 16D

002101" 9ET68960



FIG. 17A

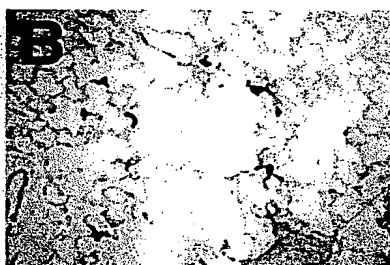


FIG. 17B

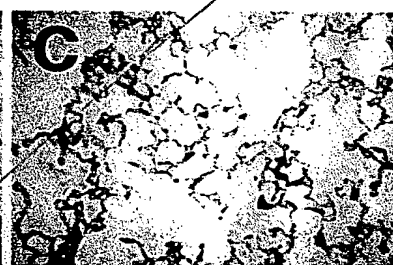


FIG. 17C

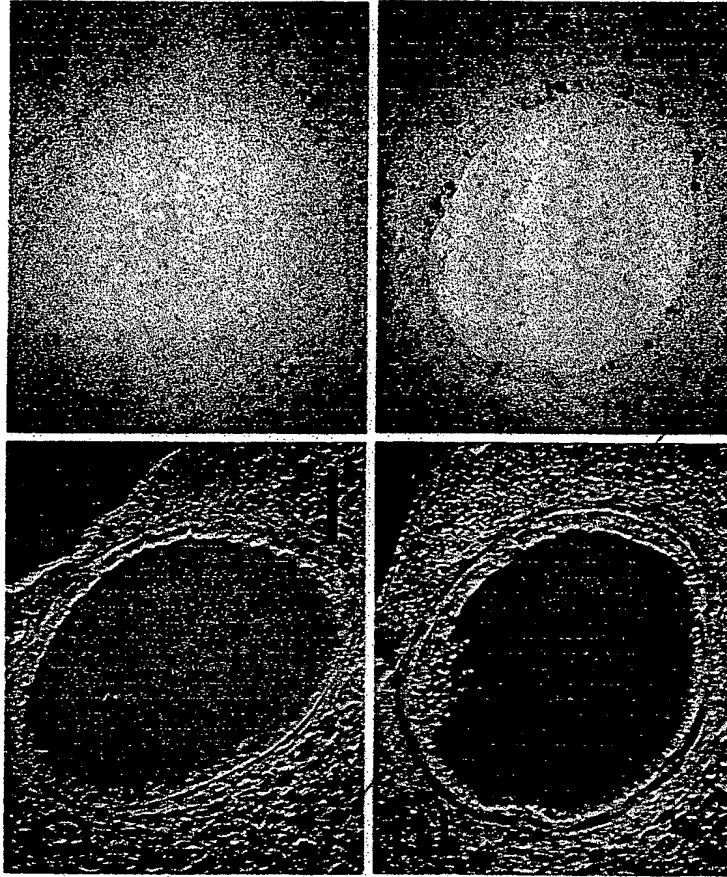


FIG. 17D

FIG. 17E



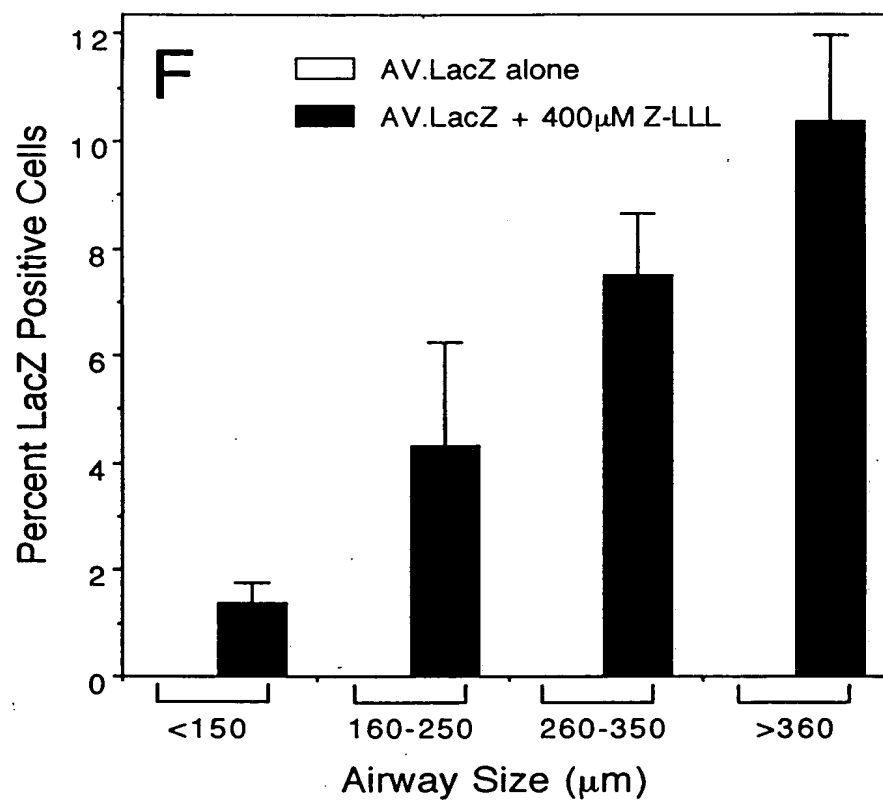


FIG. 17F

26/28

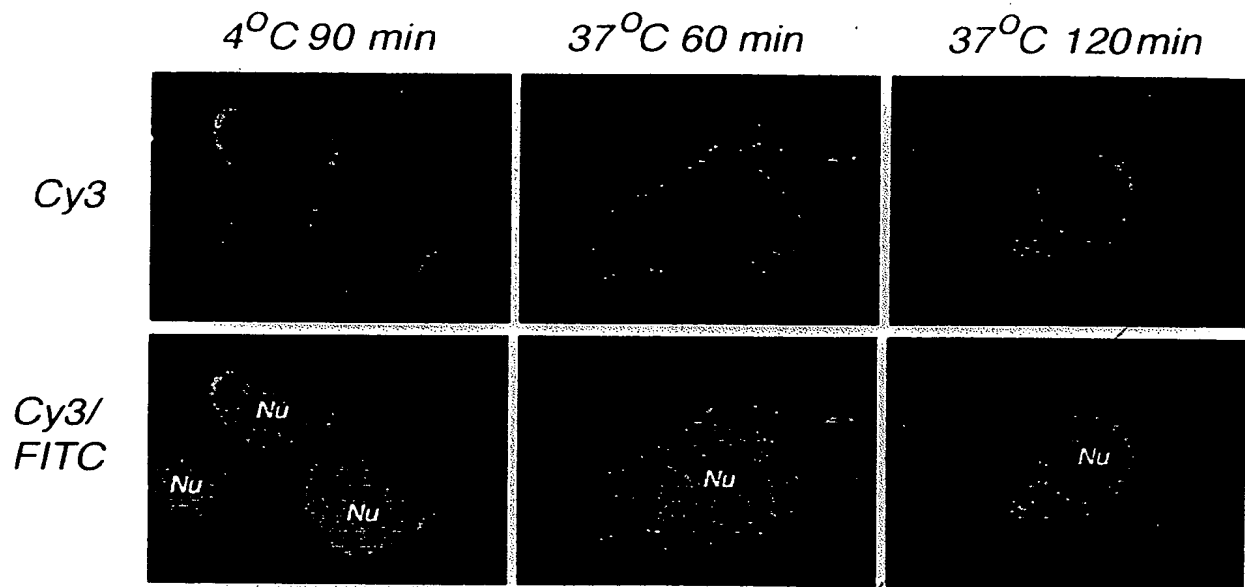


FIG. 18A

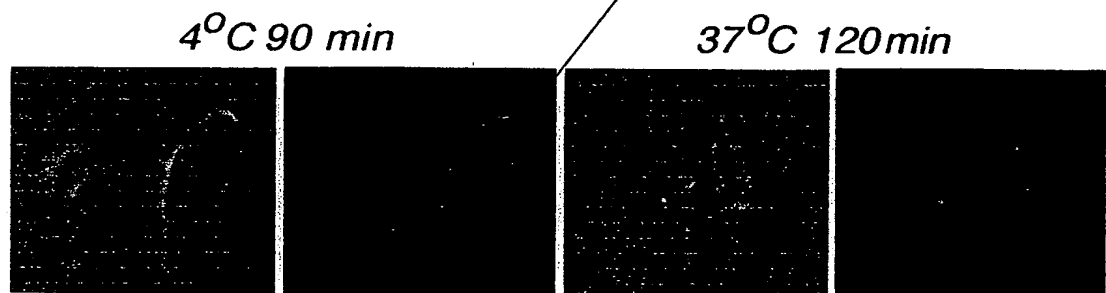


FIG. 18B

0  $\mu$ M

40  $\mu$ M

200  $\mu$ M

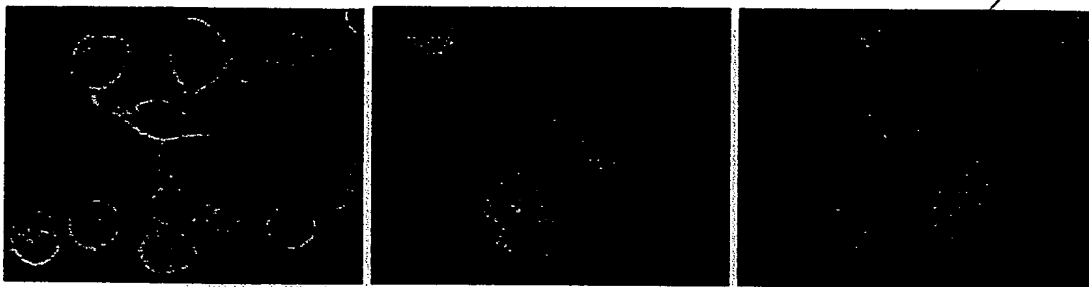


FIG. 18C

Cy3 AAV

FITC-Transferrin

Merged

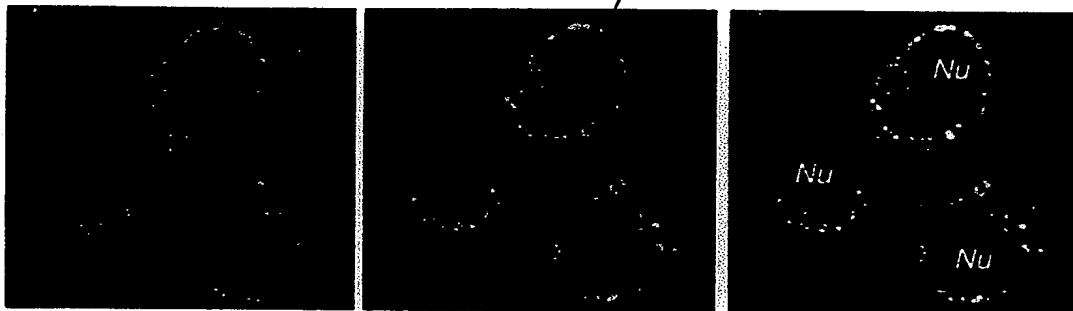


FIG. 18D

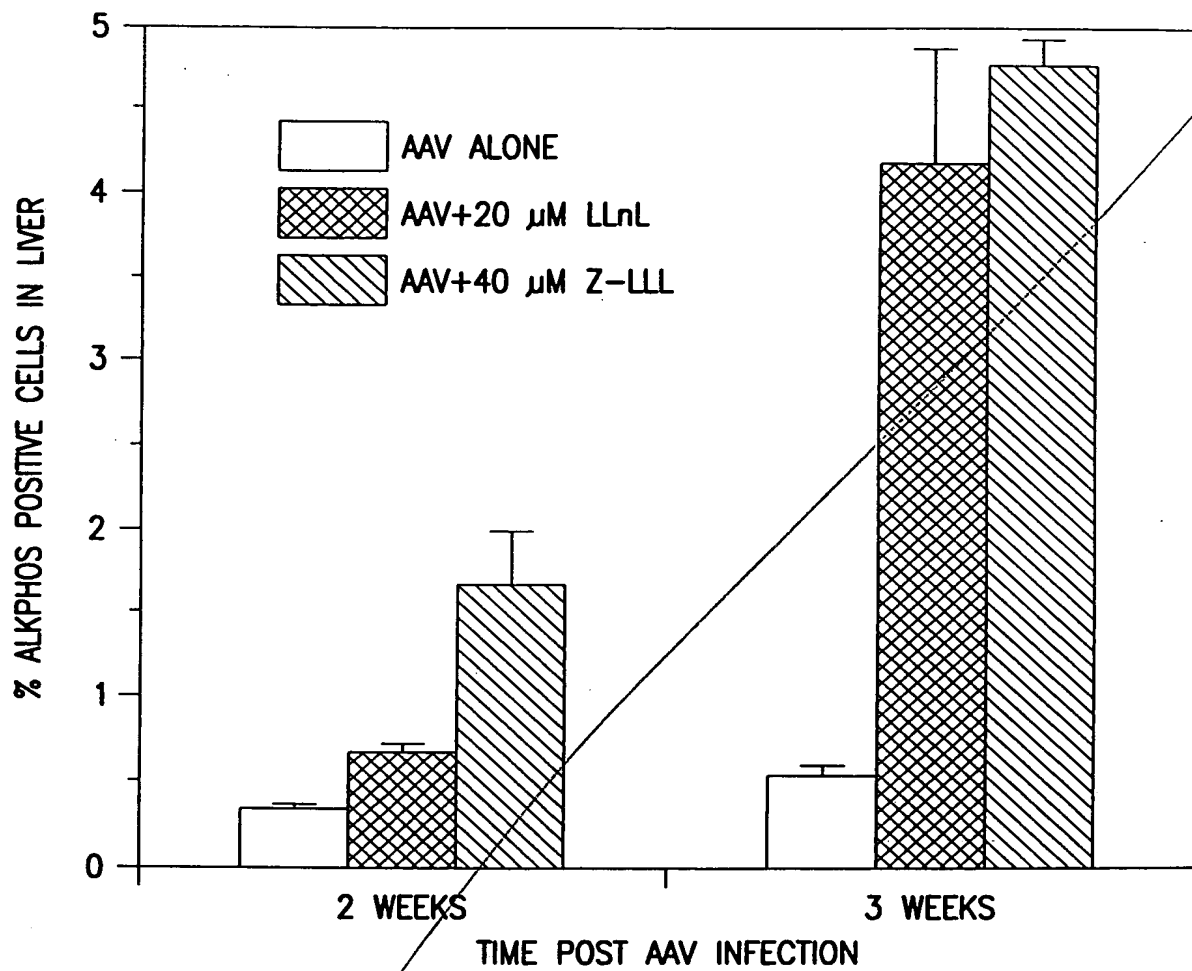


FIG. 19